▲ Operazioni in $L^2(\Delta)$ · Prodotto scalare

$$\langle \varphi | \psi \rangle = \int_{\Lambda} \varphi^*(x) \psi(x) \, dx = \overline{\langle \psi | \varphi \rangle}$$
 (1)

· Normalizzazione

$$1 = \langle \psi | \psi \rangle = \int_{\Delta} \overline{\psi(x)} \psi(x) \, dx = \int_{\Delta} |\psi(x)|^2 \, dx = ||\psi||^2 \quad (2)$$

· Autoaggiuntezza di un operatore

$$\langle A\psi|\varphi\rangle = \langle \psi|A^{\dagger}\varphi\rangle = \langle \psi|A\varphi\rangle$$
 (3)

· Norma di un operatore

$$||A|| = \sup_{\psi \in \mathcal{H} \setminus \{0\}} \frac{||A\psi||}{||\psi||} = \sup_{\|\psi\| = 1} ||A\psi||$$
 (4)

· Operatore che è funzione di un altro operatore

$$f(A)\psi = f(a)\psi \tag{5}$$

Vale se A è auto
aggiunto e ψ autofunzione

▲ Probabilità e statistica

Probabilità di una misura La probabilità che una misura dell'osservabile A nello stato $|\psi\rangle$ sia $a \in \sigma_d(A)$ è:

$$P_{\psi}(a) = \sum_{r=1}^{d(a)} \frac{|\langle a, r | \psi \rangle|^2}{\|\psi\|^2}$$
 (6)

Mentre che sia $\in [a, a + \epsilon] \subseteq \sigma_c(A)$ è:

$$\int_{a}^{a+\epsilon} \rho_{\psi} \, da \qquad \text{dove} \qquad \rho_{\psi} = \sum_{r=1}^{d(a)} \frac{|\langle a, r | \psi \rangle|^{2}}{\|\psi\|^{2}} \qquad (7)$$

· Probabilità di trovare la particella nell'intervallo

$$\Pr(I) = \frac{\int_{I} |\psi(x)|^{2} dx}{||\psi||^{2}} \quad \text{dove} \quad ||\psi||^{2} = \int_{\Delta} |\psi|^{2} dx \quad (8)$$

Vale anche per qualsiasi altra rappresentazione di ψ integrando nel corrispondente differenziale (ad esempio probabilità che la particella assuma un intervallo di momenti)

· Teorema di Plancherel

$$\int_{\mathbb{R}} |\tilde{\psi}(p)|^2 dp = \int_{\mathbb{R}} |\psi(x)|^2 dx \tag{9}$$

· Valor medio di un operatore nello stato $|\psi\rangle$

$$\langle A \rangle_{\psi} = \frac{\langle \psi | A | \psi \rangle}{||\psi||^2} = \sum_{a \in \sigma_d(A)} a \cdot P_{\psi}(a) + \int_{\sigma_c(A)} a \cdot \rho_{\psi} \, da$$

$$\cdot \text{ Fluttuazione di un operatore}$$

$$(10)$$

$$(\Delta A)_{\hat{a},\psi} = \sqrt{\langle A^2 \rangle_{\psi} - \langle A \rangle_{\psi}^2} \tag{11}$$

▲ Operatore posizione X

$$X\psi(x) = x\psi(x) \quad X^2\psi(x) = x^2\psi(x) \quad X^{-1}\psi(x) = \frac{1}{x}\psi(x)$$
(12)

▲ Operatore momento P

$$P = -i\hbar \frac{\partial}{\partial x} \quad P^2 = -\hbar^2 \frac{\partial^2}{\partial x^2}$$
 (13)

Se definito in un compatto [0, L], le autofunzioni sono

$$\psi(x) = C \exp\left(\frac{i\lambda x}{\hbar}\right), \quad \lambda \in \mathbb{Z}$$
 (14)

ove si impone

$$\psi(0) = \psi(L) \tag{15}$$

In particolare, se definito su una circonferenza, allora

$$\lambda = \frac{n\bar{h}}{R} \tag{16}$$

dove R è il raggio e $n \in \mathbb{Z}$

▲ equazione di Schrödinger in forma stazionaria

$$\left[-\frac{\hbar^2}{2m} \nabla^2 + V \right] \psi(x) = E\psi(x) \tag{17}$$
 \(\text{\textbf{Dalla rappresentazione}} \{x\} \) \(\text{a} \{p\}\) Se si \(\text{e}\) in una

 $\tilde{\psi}(p) = \frac{1}{\sqrt{2\pi\hbar}} \int_{\mathbb{R}} e^{-\frac{ipx}{\hbar}} \psi(x) dx \quad \psi(x) = \frac{1}{\sqrt{2\pi\hbar}} \int_{\mathbb{R}} e^{\frac{ipx}{\hbar}} \tilde{\psi}(p) dp$

Se si è in tre dimensioni invece tra $p \in x$ nell'exp va fatto il prodotto scalare, i differenziali sono in tre dimensioni e $\frac{1}{\sqrt{2\pi\hbar}}$ diventa $\frac{1}{(2\pi\hbar)^{3/2}}$

▲ Indeterminazione di Heisenberg · Espressione generale

$$(\Delta A)_{\psi}(\Delta B)_{\psi} \ge \frac{1}{2} \left| \langle [A, B] \rangle_{\psi} \right| \tag{19}$$

· Per la posizione e il momento

$$(\Delta X)_{\psi}(\Delta P)_{\psi} \ge \frac{n}{2} \tag{20}$$

▲ Proiettori

$$\mathcal{P}^+ = \mathcal{P} \qquad \mathcal{P}^2 = \mathcal{P} \tag{21}$$

Utilizzo dei proiettori nel caso di spettro discreto Nel caso di $a \in \sigma_d(A)$ allora:

Gli autovalori di un proiettore sono 0 e 1

$$\mathcal{P}_{a} = \sum_{r=1}^{a(u)} |a, r\rangle \langle a, r| \tag{22}$$

$$\sum_{a \in \sigma_d(A)} \mathcal{P}_a = \sum_{a \in \sigma_d(A)} \sum_{r=1}^{d(a)} |a, r\rangle \langle a, r| = \mathbb{I}$$
 (23)

$$\langle \mathcal{P}_a \rangle_{\psi} = \sum_{r=1}^{d(a)} \frac{|\langle a, r | \psi \rangle|^2}{\|\psi\|^2} = \frac{\|\mathcal{P}_a | \psi \rangle\|^2}{\|\psi\|^2} = P_{\psi}(a)$$
 (24)

· Utilizzo dei proiettori nel caso di spettro generico $\mathcal{H} = \mathcal{H}_s \oplus \mathcal{H}_s^{\perp}$ (25)

$$S \subset \mathbb{R}$$

$$S \subseteq \mathbb{R}$$
 (26)

$$\mathcal{P}_{s} = \sum_{a \in \sigma_{d}(A) \cap S} \sum_{r=1}^{a(a)} |a, r\rangle \langle a, r| + \int_{\sigma_{c}(A) \cap S} \sum_{r=1}^{a(a)} |a, r\rangle \langle a, r| \, \mathrm{d}a$$

$$a \in \sigma_d(A) \cap S = 1$$

$$\langle \mathcal{P}_s \rangle_{\psi} \text{ è la Probabilità che una misura di A nello stato } \psi \text{ dia}$$

$$(27)$$

▲ Teoria della misura Lo stato prima della misura può essere descritto come

 $|\psi\rangle = \mathcal{P}_a |\psi\rangle + (\mathbb{I} - \mathcal{P}_a) |\psi\rangle$ (28)

 $|\psi\rangle = \mathcal{P}_a |\psi\rangle$

(29)

e i relativi osservabili con spettro discreto. Allora valgono e sono equivalenti le seguenti affermazioni:

$$\mathcal{A} \in \mathcal{B}$$
 sono compatibili (30)

 \exists una base o.n. $\{|a,b,r\rangle\}$ $_{a\in\sigma(A)}$

Vale dunque $A|a,b,r\rangle = a|a,b,r\rangle$ e $B|a,b,r\rangle = b|a,b,r\rangle$

$$[A, B] = 0 (32)$$

Inoltre vale:

$$[A, B] = 0 \implies [\mathcal{P}_a, \mathcal{P}_b] = 0 \ \forall a, b \iff [f(A), g(B)] = 0$$

ICOC Si tratta di un insieme completo di osservabili compatibili, si può indicare con \vec{A} .

$$\vec{A} \text{ ICOC} \iff d(\vec{a}) = 1 \ \forall \vec{a} \in \sigma_{\vec{A}}$$
 (34)

La base o.n. di un ICOC sarà $\{|\vec{a}\rangle\}_{\vec{a} \in \sigma(\vec{A})}$ ▲ Quantizzazione canonica

 $\{\}=\frac{1}{i\hbar}[\,,\,]$

▲ Equazione di Schrödinger in forma temporale

$$i\hbar \frac{\partial}{\partial t} \psi(t) = H\psi(t) \tag{36}$$

Dove $i\hbar \frac{\partial}{\partial t}$ è l'espressione dell'operatore Energia. Una combinazione lineare di soluzioni è ancora una soluzione. Per ogni dato iniziale $|\psi(0)\rangle$ si avrà un'unica soluzione $\forall t$. Infine $\|\psi(t)\|$ si conserva nel tempo. Inoltre ψ^* è soluzione dell'equazione

 $\rho(\vec{x},t) = |\psi(\vec{x},t)|^2$

$$-i\hbar \frac{\partial}{\partial t} \psi^*(t) = H\psi^*(t) \tag{37}$$

▲ Equazione di continuità

$$\frac{d}{dt}\rho(\vec{x},t) + \vec{\nabla} \cdot \vec{J}(\vec{x},t) = 0$$
 (38)

dove

$$\vec{J}(\vec{x},t) = -\frac{i\hbar}{2m} \left(\psi^* \vec{\nabla} \psi - \psi \vec{\nabla} \psi^* \right)$$
 è la densità di corrente di probabilità.

▲ Operatore di evoluzione causale

$$U^{-1}(t,t_0) = U^+(t,t_0) = U(t_0,t) \tag{41}$$
 In un sistema conservativo, in cui cioè l'hamiltoniana resta

invariata nel tempo, si ha

$$U(t) = \exp\left(-i\frac{t}{\hbar}H\right) \tag{42}$$

▲ Visuale di Schroedinger

$$|\psi(t)\rangle = U(t)|\psi(t_0)\rangle$$
 (43)

Sia $|E_n,r\rangle$ l'autoket dell'autovalore $E_n,$ allora, per quanto riguarda la parte di spettro discreto

$$|\psi(t)\rangle = \sum_{n} \sum_{r=1}^{a(E_n)} \exp\left(-\frac{i}{\hbar} E_n(t - t_0)\right) \langle E_n, r | \psi(t_0) \rangle | E_n, r \rangle$$
(44)

Se poi c'è anche una parte continua di spettro si aggiunge

$$\int_{\sigma_c(H)} dE \sum_{r=1}^{d(E)} \exp\left(-\frac{i}{\hbar} E(t - t_0)\right) \langle E, r | \psi(t_0) \rangle | E, r \rangle \quad (45)$$

Stati stazionari Un autostato dell'hamiltoniana, $|\psi_E\rangle$ viene chiamato stato stazionario ed evolve in questo modo:

$$|\psi_E(t)\rangle = \exp\left(-\frac{i}{\hbar}E(t-t_0)\right)|\psi_E(t_0)\rangle$$
 (46)

il valor medio di un operatore calcolato su uno stato stazionario non varia nel tempo:

 $\frac{d}{dt}\langle A\rangle_{\psi_E} = 0 \ \forall A$

(47)

(50)

(57)

(58)

(61)

(62)

rimangono invariati: (48)▲ Visuale di Heisenberg

 $\frac{d}{dt}X_h(t) = \frac{[X_h(t), H]}{i\hbar} + \left(\frac{\partial A}{\partial t}\right). (t)$

$$\frac{d}{dt}X_h(t) = \frac{[X_h(t), H]}{i\hbar} + \left(\frac{\partial H}{\partial t}\right)_h(t) \tag{49}$$

dove l'ultimo termine è presente solo se A dipende esplicitamente dal tempo

Trasformazione unitaria In visuale di Heisenberg, la trasformazione unitaria $U(t,t_0)$ trasforma l'operatore A_s (operatore A in visuale di Schroedinger) come:

$$A \to A_h = U^{\dagger}(t, t_0) A_s U(t, t_0)$$

mentre gli stati rimangono invariati:

$$\psi \to \psi \tag{51}$$

In particolare $|\psi\rangle$ in visuale di Heisenberg sarà uguale al ket in visuale di Schroedinger all'istante iniziale:

$$|\psi_h(t)\rangle = |\psi_h(t_0)\rangle = |\psi_s(t_0)\rangle \tag{52}$$

Valori medi di operatori In visuale di Heisenberg e di Schroedinger i valori medi degli operatori coincidono:

$$\langle A_s \rangle = \langle A_h \rangle \tag{53}$$

Inoltre

$$\frac{d}{dt}\langle A_h \rangle_{\psi}(t) = \frac{\langle \psi_h | \frac{d}{dt} A_h | \psi_h \rangle}{\|\psi_h\|^2}$$

$$\frac{d}{dt} A_h = 0 \implies \frac{d}{dt} \langle A_h \rangle = 0$$
(54)

▲ Teorema di Ehrenfest

$$\frac{d}{dt}\langle Q\rangle_{\psi} = \frac{\langle P\rangle_{\psi}}{m} \qquad \frac{d}{dt}\langle P\rangle_{\psi} = -\langle V'(Q)\rangle_{\psi} \qquad (56)$$
 A Indeterminazione tempo energia

 $(\Delta t)_{\psi}(\Delta E)_{\psi} \gtrsim \frac{n}{2}$

 $\rho_{\psi} = \frac{|\psi\rangle\langle\psi|}{\|\varphi\|^2}$

$$\|\Psi\|$$

$$\rho_{nm} = \langle n|\rho|m\rangle = \langle n|\psi\rangle \langle \psi|m\rangle = C_n C_m^*$$
(59)

proprietà dei proiettori. Inoltre per uno stato puro valgono $\sigma(\rho) \ge 0$ $Tr(\rho^2) = 1$ (60)

 ρ , per uno stato puro, è un proiettore per cui valgono le

Dove Tr è la traccia

$$\langle A \rangle_{\psi} = {\rm Tr}(\rho A) \eqno(61)$$
 Per uno stato misto ϵ si ha

 $\rho_{\epsilon} = \sum P_k \left| \psi_k \right\rangle \left\langle \psi_k \right|$

Dove le P_k sono le probabilità associate agli stati puri ψ_k ,

per cui la loro somma deve essere uguale a 1. Inoltre si ha

 $\langle A \rangle(t) = Tr(U\rho(t_0)U^{\dagger}A) = Tr(\rho(t_0)U^{\dagger}AU) = Tr(\rho(t_0)A_h)$

 $i\hbar \frac{d}{dt}\rho_s(t) = [H_s(t), \rho_s(t)]$

 τ è una trasformazione di simmetria $\iff \begin{cases} \psi' = W\psi \\ A' = WAW^{\dagger} \end{cases}$

 $U(\varphi) = \exp\left(-i\frac{\varphi}{\hbar}P\right)$

dove φ è il parametro di traslazione e P è il generatore

 $X' = U(\varphi)XU(\varphi)^{\dagger} = X - \varphi$ $U(\varphi)^{\dagger}XU(\varphi) = X + \varphi$

 $U(\varphi)P = P$

 $U(\varphi)\psi(x) = \psi(x - \varphi)$

· Traslazioni in 3D Le relazioni sono analoghe a quelle in

1D, semplicemente vanno espresse vettorialmente. Inoltre

 $U(\vec{\varphi}) = \exp\left(-\frac{i}{\hbar}\vec{P}\cdot\vec{\varphi}\right)$

 $U(\vec{\varphi}) = \exp\left(-i\frac{\vec{\varphi}\cdot\vec{J}}{\hbar}\right)$

 $R(\varphi, \hat{z}) = \begin{pmatrix} \cos \varphi & -\sin \varphi & 0\\ \sin \varphi & \cos \varphi & 0\\ 0 & 0 & 1 \end{pmatrix}$

 $X' = U^{\dagger}XU = R^{-1}(\vec{\varphi})X$ $P' = U^{\dagger}PU = R^{-1}(\vec{\varphi})P$

▲ Simmetrie della dinamica Sono quelle simmetrie tali per

 $[W, H] = 0 \iff WHW^{\dagger} = H \iff [W, U(t - t_0)] = 0$

dove $U(t-t_0)$ in questo caso è l'operatore di evoluzione

Gruppo a un parametro di simmetrie della dinamica

 $W(\varphi) = \exp\left(-\frac{i}{\hbar}Q\varphi\right)$

con $W(s) \in G_d$ (gruppo di simmetrie della dinamica) e Q

esempio per un oscillatore armonico in direzione x, come nel

caso della (110), siccome P_y e P_z commutano con H, i loro

valori medi non varieranno nel tempo. Il valor medio di P_x

invece non varierà nel tempo, in generale, solo se calcolato

W mescola autostati di H con la stessa energia, per cui essa

Simmetrie della dinamica e autostati dell'energia

 $[W, H] = 0 \iff \forall |E\rangle \in \mathcal{H}_E, W |E\rangle \in \mathcal{H}_E$

· azione dell'operatore parità sulla funzione d'onda

dove \mathcal{H}_E è l'autospazio dell'hamiltoniano relativo all'autova-

 $P\psi(x) = \psi(-x)$

 $\sigma(P) = \{\pm 1\}$

 $P\psi(x) = \psi(x)$ se $\psi(x)$ è pari

Trasformato per parità Il trasformato per parità di un

 PAP^{\dagger}

Nel caso dell'oscillatore armonico, per gli operatori di

 $PaP^{\dagger} = -a$ $Pa^{\dagger}P^{\dagger} = -a^{\dagger}$

 $P\vec{X}P^{\dagger} = -\vec{X}$ $P\vec{P}P^{\dagger} = -\vec{P}$ $P\vec{L}P^{\dagger} = \vec{L}$

Attenzione alla parità La parità su una funzione traslata

agisce solo sulla variabile indipendente e non sul fattore di

Pf(x-2a) = f(-x-2a)

 $f(x-2a) \rightarrow f(-x+2a)$

Parità come simmetria della dinamica l'Operatore

parità rappresenta una simmetria della dinamica quando

 $H = \frac{\vec{P}^2}{2m} + V(\vec{X})$

si ha $V(\vec{X}) = V(-\vec{X})$, come nel caso dell'oscillatore armo-

nico, allora le autofunzioni dell'hamiltoniana hanno parità

definita. Esse sono anche autofunzioni della parità in quanto

H e la parità saranno operatori compatibili. Ciò significa inol-

tre che considerato un generico stato, se questo ad esempio è

pari, si può decomporre in autostati pari dell'hamiltoniana.

 $\mathcal{T}\vec{X}\mathcal{T}^{\dagger} = \vec{X}$ $\mathcal{T}\vec{P}\mathcal{T}^{\dagger} = -\vec{P}$

 $\mathcal{T}\psi(x) = \psi^*(x)$

▲ Inversione temporale Essa manda t in -t

· Azione sugli operatori

· Azione sulla funzione d'onda

Si è effettuata una riflessione intorno all'asse x=a.

commuta con H. Ad esempio se per l'hamiltoniana

 $P\psi(x) = -\psi(x)$ se dispari

 $[W(s), H] = 0 \iff [Q, H] = 0 \iff \frac{d}{dt} \langle Q \rangle_{\psi}(t) = 0 \quad \forall \psi \in \mathcal{H}$

generatore infinitesimo della simmetria, si ha

E ciò se e solo se Q è una costante del moto

su uno stato stazionario di H (si veda la (47))

è una matrice a blocchi. Si ha

lore E, e inoltre $H|E\rangle = E|E\rangle$

· Spettro e autofunzioni Lo spettro è

e la degenerazione degli autovalori è infinita.

E per gli operatori posizione e momento:

Se invece si effettua la trasformazione:

▲ Operatore parità

generico operatore A è

distruzione e creazione:

traslazione. Ovvero:

J è dunque il generatore infinitesimo di rotazione

Matrice di rotazione attorno all'asse z

· Effetto sulle coordinate e momento

Effetto sull'operatore di posizione e sul momento

$$\langle A \rangle_{\epsilon} = \sum_{k} P_{k} \langle A_{k} \rangle = Tr(\rho_{\epsilon} A)$$
 (63)

Infine per uno stato misto si ha

Con U operatore unitario o antiunitario

■ Simmetrie

▲ Rotazioni

causale definito

(35)

(39)

· Teorema di Wigner

▲ Traslazioni spaziali

· Operatore di traslazione

infinitesimo di traslazione

· Effetto sulla funzione d'onda

Operatore di rotazione

$$Tr(\rho^2) < 1 \tag{64}$$

(66)

Per quanto riguarda l'evoluzione casuale si ha:

Commutatori di base

· Inversione temporale e evoluzione causale

$$[X_i, P_j] = i\hbar \delta_{ij} \qquad [Q, f(P)] = i\hbar f'(P) \tag{93}$$

$$[X, P^2] = 2i\hbar P$$
 $[X^2, P^2] = 4i\hbar XP + 2\hbar^2$ (94)

· Commutatori con l'operatore di traslazione

$$[Q, U(\varphi)] = \varphi \ U(\varphi)$$

(95)

· Formula di Baker-Campbell-Hausdorff

$$e^A e^B = e^{A+B+\frac{1}{2}[A,B]+\frac{1}{12}([A,[A,B]]+[B,[B,A]]) + \dots}$$
 (96)

■ Formule utili da Fisica moderna

$$-\frac{\hbar^2}{2m}\frac{d^2}{dx^2}\varphi_E(x) = E\varphi_E(x) \Rightarrow \frac{d^2}{dx^2}\varphi_E(x) + k^2\varphi_E(x) = 0$$
(97)

$$k = \sqrt{\frac{2mE}{\hbar^2}} \tag{98}$$

La soluzione è

dove il primo termine è un'onda che va verso dx mentre il secondo è un'onda che va verso sx.

Quando il potenziale è
$$C^{\infty}$$
 ed è limitato in tutto \mathbb{R} allora il

dominio dell'hamiltoniana del sistema è lo stesso di quella ▲ Energia e momento quantizzati Per un quanto di energia

$$E = \hbar\omega$$
 $P = \hbar k = \hbar \frac{2\pi}{\lambda} = \frac{\hbar\omega}{c}$ (103)

▲ Buca infinita

Buca di potenziale infinitamente profonda, posta in -L/2, +L/2

 $-\frac{\hbar^2}{2m}\frac{d^2}{dx^2}\varphi_E(x) = E\varphi_E(x) \Rightarrow \frac{d^2}{dx^2}\varphi_E(x) + k^2\varphi_E(x) = 0$

Soluzioni
$$\varphi_n(x) = \begin{cases} \sqrt{\frac{2}{L}} \cos\left(\frac{n\pi x}{L}\right), & n > 0 \text{ dispari} \\ \sqrt{\frac{2}{a}} \sin\left(\frac{n\pi x}{L}\right), & n > 0 \text{ pari} \end{cases}$$
(103)

(77)

(81)

(82)

(87)

(88)

(89)

(90)

$$E_n = \frac{n}{2m} \left(\frac{n\pi}{L}\right)^{-1} \tag{104}$$

$$\varphi_E(x) = \begin{cases} c_+^1 e^{ikx} + c_-^1 e^{-ikx}, & x < 0 \\ c_2^- e^{-\chi x}, & x \ge 0 \end{cases}$$
 (107)

$$\varphi_E(x) = \begin{cases} c_+^1 e^{ikx} + c_-^1 e^{-ikx}, & x < 0 \\ c_2^+ e^{\chi x}, & x \ge 0 \end{cases}$$
 (108)

$$\omega = \sqrt{\frac{\kappa}{m}}$$
 (109) Hamiltoniana

$$H = \frac{1}{2m} + \frac{1}{2}m\omega A + v_0 = n\omega \left(a + \frac{1}{2}\right) + v_0$$
 (110)
• Spettro di H

oni
$$(m\omega)^{1/4}$$
 $(m\omega)^{1/4}$

$$\psi_1(x) = \left(\frac{m\omega}{\pi\hbar}\right)^{1/4} \sqrt{\frac{2m\omega}{\hbar}} x \exp\left(-\frac{m\omega}{2\hbar}x^2\right) \tag{1}$$

Dove $H_n(y)$ sono i polinomi di Hermite:

$$H_0(y) = 1, \quad H_1(y) = 2y, \quad H_2(y) = 4y^2 - 2$$
 (118)

$$\langle m|n
angle = \delta_{mn}$$

 $\psi_n(-x) = (-1)^n \psi_n(x)$ (121)

$$i\omega m(n+\frac{1}{2}) \implies \langle \frac{P^2}{2} \rangle_{\psi_n} = \frac{E_n}{2}$$
 (123)

$$\mathcal{T}U(t)\mathcal{T}^{\dagger} = U(-t) \tag{91}$$

dove
$$U(t)$$
 è l'operatore di evoluzione causale.

 $\mathcal{T}|\psi(-t)\rangle = U(t)\mathcal{T}|\psi(0)\rangle \qquad \mathcal{T}\psi(\vec{x},t) = \psi^*(\vec{x},-t) \quad (92)$

▲ Commutazioni generiche e altre formule

Commutatori di base
$$[X \cdot P \cdot] = i\hbar \delta \cdot \cdot \quad [O \ f(P)] = i\hbar f'(P) \qquad (0)$$

dove Q è l'operatore di posizione generalizzata

$$= F(a_{-}(n)) \Rightarrow \frac{d^2}{d^2}(a_{-}(n) + h^2(a_{-}(n))) = 0$$

$$\frac{ax}{\sqrt{2mE}}$$
 (9)

$$\psi_s(x,t) = C_+ e^{i(kx - \omega t)} + C_- e^{-i(kx - \omega t)}$$

 $D(H) = \{ \psi(x) \in L^2(\mathbb{R}, dx), \, p^2 \tilde{\psi}(p) \in L^2(\mathbb{R}, dp) \}$ (100)

$$\left(\sqrt{\frac{2}{\pi}}\cos\left(\frac{n\pi x}{n}\right), \quad n > 0 \text{ dispari}\right)$$

 \cdot Autovalori di H

· Autofunzioni Si pone

 \cdot Con energia maggiore di $ar{V}$

azione
$$\omega = \sqrt{\frac{k}{m}} \tag{109}$$

ro di
$$H$$

$$E_n = \hbar\omega \left(n + \frac{1}{2}\right) + V_0, \quad n \in \mathbb{N} \cup \{0\}$$
 (111)

$$\psi_0(x) = \left(\frac{m\omega}{\pi\hbar}\right)^{1/4} \exp\left(-\frac{m\omega}{2\hbar}x^2\right)$$
 (11)

$$\psi_2(x) = \frac{1}{\sqrt{8}} \left(\frac{m\omega}{\pi\hbar} \right) \exp\left(-\frac{m\omega x^2}{2\hbar} x^2 \right) \left(4 \frac{m\omega}{\hbar} x^2 - 2 \right) (118)$$

$$\psi_n(x) = \frac{1}{\sqrt{2nn!}} \left(\frac{m\omega}{\pi\hbar} \right)^{1/4} \exp\left(-\frac{m\omega x^2}{2\hbar} \right) H_n\left(\sqrt{\frac{m\omega}{\hbar}} x \right)$$

$$H_n(y) = (-1)^n e^{y^2} \frac{d}{dy^n} e^{-y^2}$$
 (117)

à delle autofunzioni Ortogonalità:
$$\langle m|n
angle = \delta_{mn}$$

$$\langle P \rangle_{\psi_n} = 0 \qquad \langle X^2 \rangle_{\psi_n} = \frac{\hbar}{(n+\frac{1}{2})} \qquad (122)$$

soluzioni delle due equazioni differenziali per l'oscillatore

▲ Gradino di potenziale Potenziale a gradino
$$V(x) = \bar{V}\Theta(x)$$
 con $\Theta(x)$ funzione di Heaviside

Hamiltoniana
$$P^2$$
 1 0 0 (1)

$$[P,H] = 0 \tag{112} \label{eq:112}$$
 · Autofunzioni

$$\int_{-\infty}^{\infty} \psi_i(ax)\psi_j(ax) = \frac{\delta_{ij}}{a}$$
(12)

$$[O \ U(\phi)] = \phi \ U(\phi)$$

$$E = \hbar \omega$$
 $P = \hbar k = \hbar \frac{2\pi}{M} = \frac{\hbar \omega}{M}$ (10)

· Equazione agli autovalori

$$E_n = \frac{\hbar^2}{2m} \left(\frac{n\pi}{L}\right)^2 \tag{10}$$

 $\overline{V}\Theta(x)$, con $\Theta(x)$ funzione di Heaviside.

Esempio con Hamiltoniana in una dimensione Ad Con energia minore di \bar{V}

■ Oscillatore armonico · Pulsazione

 $H = \frac{P^2}{2m} + \frac{1}{2}m\omega^2 X^2 + V_0 = \hbar\omega \left(a^{\dagger}a + \frac{1}{2}\right) + V_0 \quad (110)$

· Commutazione con la parità

Pove
$$H_n(y)$$
 sono i polinomi di Hermite:

$$H_0(y) = 1$$
, $H_1(y) = 2y$, $H_2(y) = 4y - 2$
• **Proprietà delle autofunzioni** Ortogonalità:

Le autofunzioni sono a parità definita, ovvero sono pari per indici pari, dispari per indici dispari:

$$\langle X^2 \rangle_{\psi_n} = 0 \qquad \langle X^2 \rangle_{\psi_n} = \frac{1}{m\omega}(n + \frac{1}{2}) \qquad (1)$$

cineticia e parte potenziale. Teorema di Ehrenfest per l'oscillatore armonico Le

 $\langle X \rangle_{\psi} = A \cos(\omega t + \delta) \quad \langle P \rangle_{\psi} = -mA\omega \sin(\omega t + \delta) \quad (124)$

- $\chi = \sqrt{\frac{2m(\bar{V} E)}{\hbar^2}} \qquad k = \sqrt{\frac{2mE}{\hbar^2}}$ (106)

$$H = \frac{1}{2m} + \frac{1}{2}m\omega^2 X^2 + V_0 = \hbar\omega \left(a^{\dagger}a + \frac{1}{2}\right) + V_0 \quad (110)$$
Spotting distribution

zioni
$$\psi_0(x) = \left(\frac{m\omega}{\pi\hbar}\right)^{1/4} \exp\left(-\frac{m\omega}{2\hbar}x^2\right) \tag{113}$$

 $\langle X \rangle_{\psi_n} = \langle P \rangle_{\psi_n} = 0 \qquad \langle X^2 \rangle_{\psi_n} = \frac{\hbar}{m\omega} (n + \frac{1}{2})$

 $\langle P^2 \rangle_{\psi_n} = \hbar \omega m (n + \frac{1}{2}) \implies \langle \frac{P^2}{2m} \rangle_{\psi_n} = \frac{E_n}{2}$

$$T = \frac{2\pi}{\omega} \tag{125}$$

▲ Operatori di creazione e distruzione · Operatori definiti

$$X' = \sqrt{\frac{m\omega}{\hbar}}X, \quad P' = \frac{1}{\sqrt{m\hbar\omega}}P$$
 (126)

$$a = \frac{X' + iP'}{\sqrt{2}}, \quad a^{\dagger} = \frac{X' - iP'}{\sqrt{2}}$$
 (127)

· Relazioni di commutazione

$$[a, a^{\dagger}] = 1 \tag{128}$$

(131)

· Espressioni per X e P

$$X = \sqrt{\frac{\hbar}{2m\omega}}(a + a^{\dagger})$$
 $P = \frac{i}{\sqrt{2\hbar m\omega}}(a^{\dagger} - a)$ (129)

· Azioni degli operatori

$$a^{\dagger}|n\rangle = \sqrt{n+1}|n+1\rangle \qquad a|n\rangle = \sqrt{n}|n-1\rangle \qquad (130)$$

$$(a^{\dagger})^2|n\rangle = \sqrt{(n+1)(n+2)}|n+2\rangle \quad a^2|n\rangle = \sqrt{n(n-1)}|n-2\rangle$$

$$aa^{\dagger}|n\rangle = (n+1)|n\rangle, \quad a^{\dagger}a|n\rangle = n|n\rangle$$
 (132)

$$P|n\rangle = (-1)^n|n\rangle = (-1)^N|n\rangle \tag{133}$$

Autofunzioni:

$$\psi_n(x) = \frac{(a^{\dagger})^n}{\sqrt{n!}} \psi_0(x) \tag{134}$$

▲ Operatore numero

$$N = a^{\dagger}a$$
 $N |n\rangle = n |n\rangle$ $Na |n\rangle = (n-1)a |n\rangle$ (135)

· Relazioni di commutazione

$$[N, a] = -a, \quad [N, a^{\dagger}] = a^{\dagger} \tag{136}$$

- Momento angolare
- ▲ Momento angolare totale Il momento angolare totale è

$$\vec{J} = \vec{L} + \vec{S} \tag{137}$$

dove \vec{L} è il momento angolare orbitale, mentre \vec{S} è lo spin

$$J^2 = J_x^2 + J_y^2 + J_z^2 (13)$$

· Autovalori di J^2 e J_z

$$J^{2}|l,m\rangle = \hbar^{2}j(j+1)|j,m\rangle \qquad L_{z}|j,m\rangle = \hbar m|j,m\rangle \quad (139)$$

con $j \in \frac{1}{2} \mathbb{N}$ e $m \in \{-j, -j+1, \dots, +j\}$. ▲ Momento angolare orbitale

$$\vec{L} = \vec{X} \times \vec{P}$$
 $L_k = \sum_{i,j} \epsilon_{kij} X_i P_j$ (140)

$$L_x = YP_z - ZP_y$$
 $L_y = ZP_x - XP_z$ $L_z = XP_y - YP_x$
(141)

· Autovalori di L^2 e L_z

$$L^{2}|l,m\rangle = \hbar^{2}l(l+1)|l,m\rangle$$
 $L_{z}|l,m\rangle = \hbar m|l,m\rangle$ (142)

· Espressione di L^2

$$L^{2} = -\hbar^{2} \left[\frac{1}{\sin^{2} \theta} \frac{\partial^{2}}{\partial \varphi^{2}} + \frac{1}{\sin \theta} \frac{\partial}{\partial \theta} \sin \theta \frac{\partial}{\partial \theta} \right]$$
 (143)

▲ Operatori di abbassamento e innalzamento

li abbassamento e innalzamento
$$L_{\pm} = \hbar e^{\pm i\varphi} \left[i \cot \theta \frac{\partial}{\partial \varphi} \pm \frac{\partial}{\partial \theta} \right]$$
 (144)

 $J_{\pm} = J_x \pm i J_y, \quad J_{-} = (J_{+})^{\dagger}$ (145)

$$J_{\pm}|j,m\rangle = \hbar\sqrt{j(j+1) - m(m\pm 1)}|j,m\pm 1\rangle$$
 (146)
Nella base $|j,m\rangle$, con m che va in ordine da j a $-j$, J_z risulta

diagonalizzata, J_{+} ha valori non nulli solo nella diagonale sopra quella principale, J_{-} ha valori non nulli solo nella diagonale sotto quella principale.

$$J_z J_{\pm} |\lambda, m\rangle = \hbar(m \pm 1) J_{\pm} |\lambda, m\rangle$$
 (147)

$$J_{+}J_{-} = J^{2} - J_{z} (J_{z} - \hbar)$$
 $J_{-}J_{+} = J^{2} - J_{z} (J_{z} + \hbar)$ (148)

· Espressione di J_x e J_y

$$J_x = \frac{J_+ + J_-}{2}$$
 $J_y = \frac{J_+ - J_-}{2i}$ (149)

▲ Relazioni di commutazione

$$[J_{i}, L_{j}] = [L_{i}, L_{j}] = i\hbar\epsilon_{ijk}L_{k} \quad [L^{2}, L_{j}] = 0 \quad [J_{i}, J_{j}] = i\hbar\epsilon_{ijk}J_{k}$$

$$(150)$$

$$[L_{i}, X_{j}] = [J_{i}, X_{j}] = i\hbar\epsilon_{ijk}X_{k} \quad [L_{i}, P_{j}] = [J_{i}, P_{j}] = i\hbar\epsilon_{ijk}P_{k}$$

$$(151)$$

 $[J_z, J_{\pm}] = \pm \hbar J_{\pm}$ $[J_+, J_-] = 2\hbar J_z$ (152)

Autofunzioni simultanee di
$$L^2$$
 e L_z La forma generica è data da
$$\psi_l^m = f_l^m(r)Y_l^m(r,\theta,\varphi) \tag{153}$$

dove

$$Y_l^m(\theta,\varphi) = \sqrt{\frac{(2l+1)}{4\pi} \frac{(l-|m|)!}{(l+|m|)!}} P_l^m(\cos\theta) e^{im\varphi}$$
 (154)

vengono dette armoniche sferiche. In termini di polinomi di Legendre, si ha:

$$P_l^m(x) = (-1)^m \frac{(1-x^2)^{m/2}}{2^l l!} \frac{d^{l+m}}{dx^{l+m}} (x^2 - 1)^l$$
 (155)

Le armoniche sferiche sono ortonormali:

$$\int_{0}^{2\pi} d\varphi \int_{0}^{\pi} d\theta \sin(\theta) \overline{Y_{l}^{m}(\theta, \varphi)} Y_{l'}^{m'}(\theta, \varphi) = \delta_{ll'} \delta_{mm'} \quad (156)$$

Inoltre valgono le seguenti proprietà:

$$Y_l^m(\pi - \theta, \varphi + \pi) = (-1)^l Y_l^m(\theta, \varphi)$$
 (157)

$$\overline{Y_l^m(\theta,\varphi)} = (-1)^m Y_l^{-m}(\theta,\varphi) \tag{158}$$
 Per la funzione radiale bisogna imporre la normalizzazione

seguente:

$$\int_0^{\infty} r^2 |f_l^m(r)|^2 dr = 1 \tag{159}$$

· Armoniche sferiche: Primi valori Le armoniche sferiche sono pari se l è pari, dispari altrimenti.

• Per $\hat{l} = 0$ $Y_0^0(\theta,\varphi) = \frac{1}{\sqrt{4\pi}}$

(160)

· Per l=1

$$Y_1^0(\theta,\varphi) = \sqrt{\frac{3}{4\pi}}\cos\theta = \sqrt{\frac{3}{4\pi}}\frac{z}{r}$$
 (161)

$$Y_1^{\pm 1}(\theta, \varphi) = \mp \sqrt{\frac{3}{8\pi}} \sin \theta e^{\pm i\varphi} = \mp \sqrt{\frac{3}{8\pi}} \frac{x \pm iy}{r}$$
 (162) or $l = 2$

$$Y_2^0(\theta,\varphi) = \frac{1}{4}\sqrt{\frac{5}{\pi}}(3\cos^2\theta - 1) = \frac{1}{4}\sqrt{\frac{5}{\pi}}\frac{(2z^2 - x^2 - y^2)}{r^2}$$
(163)

$$Y_2^{\pm 1}(\theta, \varphi) = \mp \frac{1}{2} \sqrt{\frac{15}{2\pi}} e^{\pm i\varphi} \sin \theta \cos \theta = -\frac{1}{2} \sqrt{\frac{15}{2\pi}} \frac{z(x \pm iy)}{r^2}$$
(164)

(166)

(167)

(168)

(169)

(173)

(174)

(175)

(177)

(178)

(180)

(182)

(184)

(186)

(187)

(188)

(189)

(190)

(191)

(192)

(193)

(199)

(201)

(202)

$$Y_2^{\pm 2}(\theta,\varphi) = \frac{1}{4}\sqrt{\frac{15}{2\pi}}e^{\pm 2i\varphi}\sin^2\theta = \frac{1}{4}\sqrt{\frac{15}{2\pi}}\frac{(x\pm iy)^2}{r^2} \quad (165)$$

 $\lambda |\psi_1\rangle \otimes |\psi_2\rangle = \lambda(|\psi_1\rangle + |\psi_2\rangle) \ \forall \lambda \in \mathbb{C}$

 $\{|e_{1,n}\rangle\otimes|e_{2,m}\rangle\}_{\substack{n=1,\ldots,d_1\\m=1,\ldots,d_2}}$

 $\dim(\mathcal{H}_1 \otimes \mathcal{H}_2) = (\dim \mathcal{H}_1)(\dim \mathcal{H}_2)$

 $\langle \psi | \psi'
angle = \left(\sum_{n,m} c_{n,m}^* \left\langle e_{1,n} | \otimes \left\langle e_{2,m} | \right) \right) \left(\sum_{n',m'} d_{n',m'} \left| e_{1,n'} \right\rangle \otimes \left| e_{2,m'} \right\rangle \right)$

 $= \sum_{n,n',m,m'} c_{n,m}^* d_{n',m'} \delta_{n,n'} \delta_{m,m'} = \sum_{n,m} c_{n,m}^* d_{n,m}$

 $(\langle \psi_1 | \otimes \langle \psi_2 |)(|\chi_1 \rangle \otimes |\chi_2 \rangle) = \langle \psi_1 | \chi_1 \rangle_{\mathcal{H}_1} \langle \psi_2 | \chi_2 \rangle_{\mathcal{H}_2}$

 $\|\psi\|^2 = \sum |c_{n,m}|^2$

 $(A_1 \otimes B_2) \left(\sum C_{n,m} |e_{1,n}\rangle \otimes |e_{2,m}\rangle \right) =$

 $=\sum C_{n,m}\left(A_{1}\left|e_{1,n}\right\rangle\right)\otimes\left(B_{2}\left|e_{2,m}\right\rangle\right)$

 $(A_1 \otimes \mathbb{I}_{\mathcal{H}_2})(\mathbb{I}_{\mathcal{H}_1} \otimes B_2) = A_1 \otimes B_2 = (\mathbb{I}_{\mathcal{H}_1} \otimes B_2)(A_1 \otimes \mathbb{I}_{\mathcal{H}_2})$

(177) e (178) $\Longrightarrow \{|a_{1,r}\rangle \otimes |b_{2,s}\rangle\}_{a_1 \in \sigma(A_1), r=1,...,d(a_1)}$

è base o.n. di $\mathcal{H} = \mathcal{H}_1 \otimes \mathcal{H}_2$. Dati due autovalori a_1 e b_2

 $d(a_1, b_2) = d(a_1)d(b_2)$

 $\sigma(S^2; S_z) = \{\hbar^2 s(s+1), \hbar m\}$

 $L \cdot S = \frac{1}{2} \left(J^2 - L^2 - S^2 \right)$

Operatori di abbassamento e innalzamento Per $S\pm$

 $\sigma_x = \begin{pmatrix} 0 & 1 \\ 1 & 0 \end{pmatrix} \quad \sigma_y = \begin{pmatrix} 0 & -i \\ i & 0 \end{pmatrix} \quad \sigma_z = \begin{pmatrix} 1 & 0 \\ 0 & -1 \end{pmatrix}$

· Composizione di spin di due particelle

Spin in direzione \hat{n} Sia \hat{n} il versore in \mathbb{R}^3 :

vale l'analogo della (146) con s al posto di j, per S_x e S_y vale

 $[\sigma_i, \sigma_j] = 2i\epsilon_{ijk}\sigma_k \qquad \{\sigma_i, \sigma_j\} = 2\delta_{ij}$

 $\sigma_i \sigma_j = \frac{1}{2} \left([\sigma_i, \sigma_j] + \{\sigma_i, \sigma_j\} \right)$

 $\hat{n} = (\sin\theta\cos\varphi, \sin\theta\sin\varphi, \cos\theta)$

 $|+\rangle_{\hat{n}} = \cos\frac{\theta}{2}e^{-i\frac{\varphi}{2}}|+\rangle + \sin\frac{\theta}{2}e^{i\frac{\varphi}{2}}|-\rangle$

 $|-\rangle_{\hat{n}} = -\sin\frac{\theta}{2}e^{-i\frac{\varphi}{2}}|+\rangle + \cos\frac{\theta}{2}e^{i\frac{\varphi}{2}}|-\rangle$

in forma matriciale gli autostati lungo una generica direzione

 $\left| \frac{\hbar}{2} \right\rangle_{\hat{\mathbf{n}}} = \begin{pmatrix} \cos \frac{\theta}{2} e^{-i\frac{\varphi}{2}} \\ \sin \frac{\theta}{2} e^{i\frac{\varphi}{2}} \end{pmatrix} \qquad \left| -\frac{\hbar}{2} \right\rangle_{\hat{\mathbf{n}}} = \begin{pmatrix} -\sin \frac{\theta}{2} e^{-i\frac{\varphi}{2}} \\ \cos \frac{\theta}{2} e^{i\frac{\varphi}{2}} \end{pmatrix} \tag{194}$

 $|+\rangle_x = \frac{1}{\sqrt{2}}(|+\rangle + |-\rangle) \qquad |-\rangle_x = \frac{1}{\sqrt{2}}(|+\rangle - |-\rangle) \quad (195)$

 $|+\rangle = \frac{1}{\sqrt{2}}(|+\rangle_x - |-\rangle_x) \qquad |-\rangle = \frac{1}{\sqrt{2}}(|+\rangle_x + |-\rangle_x) \quad (196)$

 $|+\rangle_y = \frac{1}{\sqrt{2}}(|+\rangle + i|-\rangle) \quad |-\rangle_y = \frac{1}{\sqrt{2}}(|+\rangle - i|-\rangle) \quad (197)$

 $|+\rangle = \frac{1}{\sqrt{2}}(|+\rangle_y + |-\rangle_y) \quad |-\rangle = -\frac{i}{\sqrt{2}}(|+\rangle_y - |-\rangle_y) \quad (198)$

 $J = J^{(1)} \otimes I + I \otimes J^{(2)}$

dove ad esempio per una particella con spin $J^{(1)} = L$ e

 $J^{(2)} = S$, mentre per due particelle senza spin $J^{(1)} = L^{(1)}$ e $J^{(2)} = L^{(2)}$. Possiamo diagonalizzare simultaneamente

 $\{J^{2} (1), J_z^{(1)}, J^2 (2), J_z^{(2)}\}$ oppure $\{J^{2} (1), J^2 (2), J^2, J_z\}$ per

 $|j1, j2, j, m\rangle \equiv |j, m\rangle = \sum_{m1, m2} |m1, m2\rangle \langle m1, m2|j, m\rangle$

dove $\langle m1, m2|j, m\rangle$ vengono detti coefficienti di Clebsch Gor-

dan. Si noti inoltre, che siccome essi possono essere scelti

 $|j1,j2,m1,m2\rangle \equiv |m1,m2\rangle = \sum_{j,m} |j,m\rangle \, \langle m1,m2|j,m\rangle$

 $j \in \{j_1 + j_2, j_1 + j_2 - 1, \dots, |j_1 - j_2|\}$

■ Composizione dei momenti angolari

 $S^{(1)} \cdot S^{(2)} = \frac{1}{2} \left(S_{+}^{(1)} S_{-}^{(2)} + S_{-}^{(1)} S_{+}^{(2)} \right) + S_{z}^{(1)} S_{z}^{(2)}$

 $S \cdot \hat{n} = \frac{\hbar}{2} \sigma \cdot \hat{n} = \frac{\hbar}{2} \begin{pmatrix} \cos \theta & \sin \theta e^{-i\varphi} \\ \sin \theta e^{i\varphi} & -\cos \theta \end{pmatrix}$

 $[S_i, X_j] = [S_i, P_j] = [S_i, L_j] = 0$

fissati, la degenerazione della coppia su \mathcal{H} sarà

· Relazioni di commutazione

con $s \in \frac{1}{2} \mathbb{N}$ e $m \in \{-s, -s+1, \dots, +s\}$.

l'analogo della (149) cutilizzando S_{\pm}

 $[S_i, S_j] = i\hbar\epsilon_{ijk}S_k$

· Spettro di (S^2, S_z)

 \blacktriangle Prodotto $L \cdot S$

Matrici di Pauli

Gli autostati sono:

Spin in direzione x

 \cdot Spin in direzione y

Generalità

cui si può scrivere

▲ Spin 1/2

Spettro

(144)

■ Spin

 A_1 a.a e $\{|a_{1,r}\rangle\}$ $a_1 \in \sigma(A_1)$ base o.n. di \mathcal{H}_1

 B_2 a.a e $\{|b_{2,s}\rangle\}$ $b_{2 \in \sigma(B_2)}$ base o.n. di \mathcal{H}_2

 $|\psi_1\rangle \otimes (|\chi_2\rangle + |\psi_2\rangle) = |\psi_1\rangle \otimes |\chi_2\rangle + |\psi_1\rangle \otimes |\psi_2\rangle$

è una base o.n. di $\mathcal{H} = \mathcal{H}_1 \otimes \mathcal{H}_2$, dove

Tra due vettori fattorizzati si ha

▲ Operatori e prodotto tensore

■ Prodotto tensore

▲ Prodotto scalare

$$^{\pm 2}(\theta, \varphi) = \frac{1}{4} \sqrt{\frac{15}{15}} e^{\pm 2i\varphi} \sin^2 \theta = \frac{1}{4} \sqrt{\frac{15}{15}} \frac{(x \pm iy)^2}{(165)}$$

$$J_z |j,m\rangle = \hbar m |j,m\rangle$$
 $J_z |m1,m2\rangle = (m1+m2)\hbar |m1,m2\rangle$

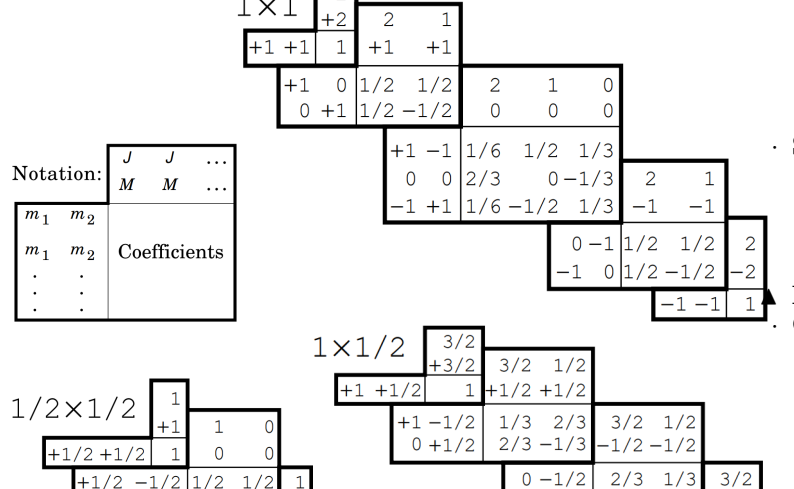
$$(203)$$

 $[J^2, J^{(1)}] = 0$

· Relazioni di commutazione

$$[J^2, J^{(1)}] = 0$$
 $[J^2, J^{(2)}] = 0$ $[J^2, J_i^{(1,2)}] \neq 0$ (204)

Coefficienti di Clebsch-Gordan Ogni coefficiente, ad esempio -3/2, va letto come se ci fosse una radice. In questo caso quindi $-\sqrt{3/2}$



■ Particelle identiche I bosoni hanno spin intero, ovvero $s \in \mathbb{Z}$ mentre i fermioni semi intero, ovvero $s \in \frac{1}{2} + \mathbb{Z}$. Sotto lo scambio di etichette la funzione d'onda complessiva dei bosoni deve essere simmetrica, quella dei fermioni antisimmetrica (ovvero deve acquistare un segno - nel caso di due particelle).

▲ Due particelle identiche di spin ½ Considerato lo spazio di Hilbert

$$\mathcal{H}^{\otimes 2} = \mathcal{H}_{\vec{X_1}, \vec{X_2}} \otimes \mathcal{H}_{\vec{S_1}, \vec{S_2}} \tag{205}$$

diagonalizzare simultaneamente $\{\vec{X}_1, \vec{X}_2, S_{1,z}, S_{2,z}\}$ oppure $\{\vec{X}_1, \vec{X}_2, S^2, S_z\}$. Espandendo quest'ultima base data da $\{|s,m\rangle\}$ nella base della prima, data da $\{|m1, m2\rangle\}$, tramite i coefficienti di Clebsch-Gordan,

$$|1,1\rangle = |+,+\rangle \quad |1,0\rangle = \frac{1}{\sqrt{2}} (|+-\rangle + |-+\rangle) \quad |1,-1\rangle = |--\rangle$$

$$(206)$$

che vengono detti stati di tripletto e sono simmetrici

$$|s = 0, m = 0\rangle = \frac{1}{\sqrt{2}}(|+-\rangle - |-+\rangle)$$
 (207)

che viene detto stato di singoletto ed è asimmetrico. Per quanto detto sopra allora le parti di posizione per tali particelle dovranno essere antisimmetriche nel caso degli stati di tripletto e simmetriche nel caso del singoletto. ■ Atomo di Idrogeno

▲ Hamiltoniana separata in due parti

$$H = H_{CM} + H_r \quad M = m_a + m_b$$
 (208)

$$\vec{X}_{CM} = \frac{m_a}{M}\vec{X}_a + \frac{m_b}{M}\vec{X}_b \quad \vec{P}_{CM} = \vec{P}_a + \vec{P}_b$$
 (209)

$$\vec{X}_r = \vec{X}_a - \vec{X}_b \quad \vec{P}_r = \frac{m_b}{M} \vec{P}_a - \frac{\vec{m}_a}{M} \vec{P}_b$$
 (210)

$$H_r = \frac{\vec{P}_r^2}{2\mu} - \frac{e^2}{r} \qquad \mu = \frac{m_e m_p}{M}$$
 (211)

▲ Autofunzioni e autovalori per stati legati Le autofunzioni sono del tipo della (153). Gli autovalori E_n , con n=1 stato fondamentale, hanno degenerazione n^2 . In particolare per ogni livello n si hanno autofunzioni per tutti i valori di l e m che rispettano tali condizioni:

$$0 \le l < n \qquad -l \le m \le l \tag{212}$$

Gli autovalori hanno energia pari a

$$E_n = -\frac{E_I}{n^2} \tag{213}$$

■ Teoria delle perturbazioni · Hamiltoniana perturbata

$$H = H_0 + \lambda V = H_0 + W \tag{214}$$

· Equazioni agli autovalori
$$H_0|E_n^0\rangle = E_n^0|E_n^0\rangle, \quad H|E_n\rangle = E_n|E_n\rangle \tag{215}$$

 $E_n^{\lambda} = E_n^0 + \lambda E_n^1 + \lambda^2 E_n^2 + \dots$ (216)

$$|E_n^{\lambda}\rangle = |E_n^0\rangle + \lambda |E_n^1\rangle + \lambda^2 |E_n^2\rangle + \dots$$
 (217)

· Primo e secondo ordine

$$E_n^1 = \langle E_n^0 | V | E_n^0 \rangle \qquad E_n^2 = \sum_{m \neq n} \frac{|\langle E_n^0 | V | E_m^0 \rangle|^2}{E_n^0 - E_m^0}$$
 (218)

$$\left|E_{n}^{1}\right\rangle = \sum_{n} \left|E_{m}^{0}\right\rangle \frac{\langle E_{m}^{0} | V | E_{n}^{0} \rangle}{E_{n}^{0} - E_{m}^{0}} \tag{219}$$

▲ Risoluzione nei casi con degenerazione Si costruisce la matrice W con dimensione pari al valore della degenerazione. Per trovarne gli elementi si usa

$$\langle \psi_r | V | \psi_s \rangle \tag{220}$$
 dove $|\psi_r\rangle$ e $|\psi_s\rangle$ sono autovettori degeneri relativi allo stes-

so autovalore oppure no. Diagonalizzando V si trovano le correzioni E_{n-1}^k relative agli sviluppi

$$E^k = E_{n,0}^k + \lambda E_{n,1}^k + \dots {221}$$

Gli autovettori della matrice V sono invece gli autovettori all'ordine 0 espressi nella base degli autovettori degeneri. ■ Matematica utile

▲ Identità trigonometriche

$$\cos \alpha = \frac{e^{i\alpha} + e^{-i\alpha}}{2}, \quad \sin \alpha = \frac{e^{i\alpha} - e^{-i\alpha}}{2i}$$

$$\cos \alpha = \frac{e^{-i} + e^{-i}}{2}, \quad \sin \alpha = \frac{e^{-i} - e^{-i}}{2i}$$
 (222)

• Formule di duplicazione

$$\sin(2\alpha) = 2\sin\alpha\cos\alpha \quad \tan(2\alpha) = \frac{2\tan\alpha}{1 - \tan^2\alpha} \quad (223)$$
$$\cos(2\alpha) = \cos^2\alpha - \sin^2\alpha = 1 - 2\sin^2\alpha = 2\cos^2\alpha - 1$$

$$\sin^2 \alpha = \frac{1 - \cos(2\alpha)}{2}, \quad \cos^2 \alpha = \frac{1 + \cos(2\alpha)}{2}$$
 (225)

· Formule di bisezione

$$\cos\frac{\alpha}{2} = \pm\sqrt{\frac{1+\cos\alpha}{2}}, \quad \sin\frac{\alpha}{2} = \pm\sqrt{\frac{1-\cos\alpha}{2}}$$
 (226)

$$\tan \frac{\alpha}{2} = \pm \sqrt{\frac{1 - \cos \alpha}{1 + \cos \alpha}} = \frac{1 - \cos \alpha}{\sin \alpha} = \frac{\sin \alpha}{1 + \cos \alpha}$$
(227)
• Formule parametriche Sia $t = \tan \frac{\alpha}{2} \cos \alpha \neq (2k + 1)\pi$,

 $\sin \alpha = \frac{2t}{1+t^2}, \quad \cos \alpha = \frac{1-t^2}{1+t^2}$ (228)

$$\sin \alpha + \sin \beta = 2 \sin \left(\frac{\alpha + \beta}{2}\right) \cos \left(\frac{\alpha - \beta}{2}\right)$$
 (229)

$$\sin \alpha - \sin \beta = 2\cos \left(\frac{\alpha + \beta}{2}\right)\sin \left(\frac{\alpha - \beta}{2}\right)$$
 (230)

$$\cos \alpha + \cos \beta = 2 \cos \left(\frac{\alpha - \beta}{2}\right) \cos \left(\frac{\alpha + \beta}{2}\right)$$

$$\cos \alpha - \cos \beta = -2 \sin \left(\frac{\alpha - \beta}{2} \right) \sin \left(\frac{\alpha + \beta}{2} \right)$$
 (232)

· Formule di Werner

$$\sin \alpha \sin \beta = \frac{1}{2} [\cos(\alpha - \beta) - \cos(\alpha + \beta)] \qquad (233)$$

$$\cos \alpha \cos \beta = \frac{1}{2} [\cos(\alpha + \beta) + \cos(\alpha - \beta)]$$
 (234)

 $\sin \alpha \cos \beta = \frac{1}{2} [\sin(\alpha + \beta) + \sin(\alpha - \beta)]$

$$\sin(\alpha \pm \beta) = \sin \alpha \cos \beta \pm \cos \alpha \sin \beta \tag{236}$$

 $\cos(\alpha \pm \beta) = \cos \alpha \cos \beta \mp \sin \alpha \sin \beta$

Coordinate cilindriche

$$(x, y, z) \to (r\cos(\varphi), r\sin(\varphi), z)$$
 $\int r dr \int d\varphi \int dz$ (240)

$$\sqrt{x^2 + y^2 + z^2} = r \tag{242}$$

$$\int r^2 dr \int d\varphi \int \sin(\theta) d\theta \quad \varphi \in (0, 2\pi) \quad \theta \in (0, \pi) \quad (243)$$

$$\int \sin^2 x \, dx = \frac{1}{2} (x - \sin x \cos x) \tag{24}$$

$$\int \cos^3 x \, dx = \frac{1}{12} (9\sin x + \sin 3x) = \sin x - \frac{\sin^3 x}{3} \quad (247)$$

$$\int \sin^3 x \, dx = \frac{1}{12} (\cos 3x - 9 \cos x) = -\cos x + \frac{1}{3} (248)$$

$$\int \sin^2 x \cos x \, dx = \frac{1}{3} \sin^3 x \qquad \int \sin x \cos^2 x \, dx = -\frac{1}{3} \cos^3 x$$

$$\int xe^{-x^2} dx = -\frac{1}{2}e^{-x^2} \qquad \int_0^\infty x^2 e^{-x^2} dx = \frac{1}{4}\sqrt{\pi} \quad (250)$$

$$\int_{-\infty}^{+\infty} e^{-\alpha x^2 + \beta x} dx = \sqrt{\frac{\pi}{\alpha}} e^{\frac{\beta^2}{4\alpha}}$$
 (252)

▲ Numeri complessi

$$z = a + ib = r(\cos(\theta) + i\sin(\theta)) = re^{i\theta} \quad \overline{z} = z^* = a - ib$$
 (253)

ve
$$r = |z| = \sqrt{a^2 + b^2}$$
 (254)

 $z^n = r^n \left[\cos(n\theta) + i \sin(n\theta) \right]$

$$\||\mathbf{u}\rangle\| = \sqrt{\langle \mathbf{u} | \mathbf{u}\rangle} = \sqrt{\sum_{i=1}^{n} |u_{i}|^{2}}$$
 (257)

· Somma di Gauss

$$\sum_{i=0}^{N} i = \frac{N(N+1)}{2} \tag{258}$$

Serie geometrica

$$\sum_{i=1}^{N} q^{i} = \frac{1 - q^{N+1}}{1 - q} \tag{259}$$

La serie converge per |q| < 1 e in tal caso:

$$\sum_{i=0}^{\infty} q^i = \frac{1}{1-q} \tag{260}$$

▲ Sviluppi in serie

Formula generale e formule principali

$$\sin x = x - \frac{x^3}{3!} + \frac{x^5}{5!} + o(x^5)$$
 $\cos x = 1 - \frac{x^2}{2!} + \frac{x^4}{4!} + o(x^4)$

$$\tan x = x + \frac{x^3}{3} + 2\frac{x^5}{15} + o(x^6) \tag{26}$$

▲ Equazioni differenziali (ODE)

· Forma generale del primo ordine

(265)

(266)

(267)

(269)

dove
$$A(t)$$
 è una primitiva di $a(t)$.

 $\ddot{y} + a\dot{y} + by = 0, \quad a, b \in \mathbb{R}$

• Se
$$\Delta = 0$$
:

• Se
$$\Delta < 0$$
:

▲ Proprietà del commutatore

[A, B] = -[B, A] [A + B, C] = [A, C] + [B, C](271)

$$[A, BC] = [A, B]C + B[A, C]$$
 (273)

(274)

(236)(237)

(235)

Integrali Coordinate polari

 $(x,y) \to (r\cos(\varphi), r\sin(\varphi)) \int rdr \int d\varphi$ $\sqrt{x^2 + y^2} = r$

$$\int \sin^2 x \, dx = \frac{1}{2} (x - \sin x \cos x) \tag{244}$$

$$\int \sin x \cos x \, dx = -\frac{1}{2} \cos^2 x \tag{246}$$

$$\int \sin^3 x \, dx = \frac{1}{12} (\cos 3x - 9\cos x) = -\cos x + \frac{\cos^3 x}{3}$$

$$e^{-x^2} dx = -\frac{1}{2}e^{-x^2} \qquad \int_0^\infty x^2 e^{-x^2} dx = \frac{1}{4}\sqrt{\pi} \quad (250)$$

$$\int_{-\infty}^{+\infty} e^{-\alpha x^2 + \beta x} dx = \sqrt{\frac{\pi}{\alpha}} e^{\frac{\beta^2}{4\alpha}}$$
 (25)

(255)▲ Vettori complessi

$$\|\mathbf{u}\| = \sqrt{\langle \mathbf{u} | \mathbf{u} \rangle} = \sqrt{\frac{n}{|u_i|^2}} \tag{25}$$

▲ Serie e somme di Gauss

$$\sum_{i=0}^{\infty} i = \frac{1 \cdot (1 \cdot 1 \cdot 1)}{2} \tag{258}$$

$$\sum_{i=1}^{\infty} q^i = \frac{1}{1-a} \tag{2}$$

$$x^{3} - x^{5} - x^{5} - x^{2} - x^{4} - x^{4} - x^{5} - x^{2} - x^{4} - x^{4} - x^{5} - x^{5$$

$$\tan x = x + \frac{x^{3}}{3} + 2\frac{x^{3}}{15} + o(x^{6})$$

$$e^{x} = 1 + x + \frac{x^{2}}{2!} + \frac{x^{3}}{3!} + \dots + \frac{x^{n}}{n!} + \dots$$
(264)

 $y(t) = e^{-A(t)} \left[c + \int b(t)e^{A(t)}dt \right]$

una primitiva di
$$a(t)$$
.
erale del secondo ordine (omogenea

Le soluzioni dell'equazione associata dipendono da
$$\Delta$$
: \cdot Se $\Delta > 0$:

$$x=0$$
:
$$y(t)=c_1e^{\lambda_1t}+tc_2e^{\lambda_1t}$$

$$g(t) = c_1 e^{-\cos(\beta t)} + c_2 e^{-\sin(\beta t)}$$

$$\cos \alpha = \text{Re}(\lambda), \ \beta = \text{Im}(\lambda).$$

[A, B + C] = [A, B] + [A, C]

$$A, BC] = [A, B]C + B[A, C]$$

$$AB C] = A[B C] + [A C]B$$

[AB, C] = A[B, C] + [A, C]B

$$\cos(\varphi), r\sin(\varphi), z$$
 $\int rdr \int d\varphi \int dz$ (24)

$$(x, y, z) \to (r\cos(\varphi), r\sin(\varphi), z)$$

coordinate sieriche
$$(x, y, z) \rightarrow (r\cos(\varphi)\sin(\theta), r\sin(\varphi)\sin(\theta), r\cos(\theta))$$
 (2)

$$\sqrt{x^2 + y^2 + z^2} = r \tag{2}$$

rail notevoli
$$\int \sin^2 x \, dx = \frac{1}{2}(x - \sin x \cos x) \tag{244}$$

$$\int \cos^2 x \, dx = \frac{1}{2} (x + \sin x \cos x) \tag{245}$$

$$\int \sin x \cos x \, dx = -\frac{1}{2} \cos^2 x \tag{246}$$

$$dx = \frac{1}{12}(9\sin x + \sin 3x) = \sin x - \frac{\sin^3 x}{3} \quad (24)$$

$$\int xe^{-x^2} dx = -\frac{1}{2}e^{-x^2} \qquad \int_0^{+\infty} x^2 e^{-x^2} dx = \frac{1}{4}\sqrt{\pi} \quad (28)$$

$$\int_0^{+\infty} e^{-\alpha x^2} dx = \sqrt{\frac{\pi}{\alpha}} \qquad \int_0^{+\infty} x^2 e^{-\alpha x^2} dx = \sqrt{\frac{\pi}{2\alpha^3}}$$

$$r = |z| = \sqrt{a^2 + b^2}$$

$$z^n = r^n \left[\cos(n\theta) + i \sin(n\theta) \right]$$
(255)

$$\langle \mathbf{u} | \mathbf{v} \rangle = \sum_{j=1} u_j^* v_j \tag{256}$$

$$\sum_{i=0}^{t} {}^{t} = \frac{1}{2}$$

$$\sum_{i=1}^{\infty} q^{i} = \frac{1}{1-a} \tag{2}$$

$$f(x) = f(a) + \frac{f^{(n)}(a)}{n!} (x - a)^n + \cdots$$
 (261)

$$\tan x = x + \frac{x^3}{3} + 2\frac{x^5}{15} + o(x^6) \tag{26}$$

$$\dot{y}(t) + a(t)y(t) = b(t)$$

Forma generale del secondo ordine (omogenea)

 $y(t) = c_1 e^{\lambda_1 t} + c_2 e^{\lambda_2 t}$ (268)

:
$$y(t) = c_1 e^{\alpha t} \cos(\beta t) + c_2 e^{\alpha t} \sin(\beta t)$$
 (270)

$$[A, B+C] = [A, B] + [A, C]$$
 (2)
 $[A, BC] = [A, B]C + B[A, C]$ (2)

(272)